

# Ondas parciais e deslocamentos de fase – slide da aula 04

A amplitude de espalhamento fica

$$f(\mathbf{k}', \mathbf{k}) = -4\pi^2 \sum_{\ell} \frac{mT_{\ell}(k)}{\hbar^2 k^2} Y_{\ell}^0(\hat{\mathbf{k}}') \sqrt{\frac{2\ell+1}{4\pi}}, \text{ onde (mostre)}$$

$Y_{\ell}^0(\hat{\mathbf{k}}') = \sqrt{\frac{2\ell+1}{4\pi}} P_{\ell}(\cos \theta)$ . Definindo,  $f_{\ell}(k) = -\pi \frac{mT_{\ell}(k)}{\hbar^2 k^2}$ , temos

$$f(\mathbf{k}', \mathbf{k}) = f(\theta) = \sum_{\ell=0}^{\infty} (2\ell+1) f_{\ell}(k) P_{\ell}(\cos \theta)$$

Para entender o significado físico de  $f_{\ell}(k)$ , vamos estudar o comportamento à longas distâncias de  $\langle \mathbf{r} | \Psi_{\mathbf{k}}^{(+)} \rangle$ , isto é:

$$\lim_{r \rightarrow \infty} \langle \mathbf{r} | \Psi_{\mathbf{k}}^{(+)} \rangle = \frac{1}{(2\pi)^{3/2}} \left( e^{ikz} + \frac{e^{ikr}}{r} f(\theta) \right)$$

Do slide 7, temos  $e^{ikz} = \sum_{\ell} (2\ell+1) i^{\ell} j_{\ell}(kr) P_{\ell}(\cos \theta)$  onde já vimos que

$$\lim_{r \rightarrow \infty} j_{\ell}(kr) = \frac{e^{+i(kr-\ell\pi/2)} - e^{-i(kr-\ell\pi/2)}}{2ikr} = \underbrace{e^{-i\ell\pi/2}}_{i^{-\ell}} \left( \frac{e^{+ikr} - e^{-i(kr-\ell\pi)}}{2ikr} \right)$$

assim

$$\lim_{r \rightarrow \infty} e^{ikz} = \sum_{\ell} (2\ell+1) P_{\ell}(\cos \theta) \left( \frac{e^{+ikr} - e^{-i(kr-\ell\pi)}}{2ikr} \right)$$

## Ondas parciais e deslocamentos de fase - slide da aula 04

Colocando os resultados das caixa verdes na caixa azul do slide anterior, temos:

$$\lim_{r \rightarrow \infty} \langle \mathbf{r} | \Psi_{\mathbf{k}}^{(+)} \rangle = \frac{1}{(2\pi)^{3/2}} \sum_{\ell} (2\ell + 1) P_{\ell}(\cos \theta) \left( \frac{e^{+ikr} - e^{-i(kr - \ell\pi)}}{2ikr} + \frac{e^{ikr}}{r} f_{\ell}(k) \right)$$

$$\lim_{r \rightarrow \infty} \langle \mathbf{r} | \Psi_{\mathbf{k}}^{(+)} \rangle = \frac{1}{(2\pi)^{3/2}} \sum_{\ell} (2\ell + 1) \frac{P_{\ell}(\cos \theta)}{2ik} \left( \underbrace{[1 + 2ikf_{\ell}(k)]}_{\text{green arrow}} \frac{e^{+ikr}}{r} - \frac{e^{-i(kr - \ell\pi)}}{r} \right)$$

*o potencial só afeta a onda esférica que sai*

O coeficiente da onda esférica emergente  $[1 + 2ikf_{\ell}(k)] = 1$ , se  $V = 0$ .

Se construíssemos pacotes, o pacote associado à  $\frac{e^{ikr}}{r}$  só existiria p/  $cte \leq t \leq \infty$

e o associado à  $\frac{e^{-ikr}}{r}$  só existiria p/  $-\infty \leq t \leq cte'$ . Assim, como o  $|\Psi_{\mathbf{k}}^{(+)}\rangle$  contém a informação completa (antes e depois da colisão), é de se esperar que:

$\oint \mathbf{J} \cdot d\mathbf{S} = 0$ . As partículas que entram devem sair (se não há ralos e fontes).

Assim, o fluxo associado à  $\frac{e^{ikr}}{r}$  deve ser igual ao fluxo associado à  $\frac{e^{-ikr}}{r}$ . Isso deve valer para cada onda parcial. Para calcular esses fluxos, defina antes

$S_{\ell} \equiv 1 + 2ikf_{\ell}(k) \Rightarrow$  a aula 4 terminou aqui.

# Ondas parciais e deslocamentos de fase

Assim, a partir de  $\mathbf{J} = \frac{\hbar}{m} \operatorname{Im}(\psi^* \nabla \psi)$  podemos escrever

$$\left| \int r^2 d\Omega \operatorname{Im} \left( S_\ell^* \frac{e^{-ikr}}{r} \frac{\partial}{\partial r} S_\ell \frac{e^{ikr}}{r} \right) \right| = \left| \int r^2 d\Omega \operatorname{Im} \left( \frac{e^{-i(kr-\ell\pi)}}{r} \frac{\partial}{\partial r} \frac{e^{-i(kr-\ell\pi)}}{r} \right) \right|$$

$$4\pi |S_\ell|^2 = 4\pi \implies |S_\ell| = 1 \text{ (fruto da conservação de fluxo).}$$

Se  $|S_\ell| = 1$ , é sugestiva a seguinte definição:  $S_\ell = e^{2i\delta_\ell} \begin{cases} \delta_\ell \equiv \begin{cases} \text{deslocamento} \\ \text{de fase} \end{cases} \\ \delta_\ell \rightarrow \text{número real} \\ \text{o } 2 \text{ é convenção} \end{cases}$

O que deixa claro que a existência do potencial pode no máximo infligir uma mudança de fase na onda esférica emergente. Como  $S_\ell \equiv 1 + 2ikf_\ell(k)$ ,

podemos escrever  $f_\ell = \frac{e^{2i\delta_\ell} - 1}{2ik} = \underbrace{\frac{e^{i\delta_\ell} \sin \delta_\ell}{k}}_{k} = \frac{\sin \delta_\ell}{ke^{-i\delta_\ell}} = \frac{\sin \delta_\ell}{k(\cos \delta_\ell - i \sin \delta_\ell)}$

Ou ainda  $f_\ell = \underbrace{\frac{1}{k(\cot \delta_\ell - i)}}_{k}.$  Assim,  $f(\theta) = \frac{1}{k} \sum_{\ell=0}^{\infty} (2\ell+1) e^{i\delta_\ell} \sin \delta_\ell P_\ell(\cos \theta)$

esta forma será útil

Note que para deduzir isso, usamos apenas que  $[\mathbf{L}^2, T] = [L_z, T] = 0$  e conservação de probabilidade.

# O método de ondas parciais para o problema de espalhamento

A amplitude de espalhamento depende dos deslocamentos de fase na forma:

$$f(\theta) = \frac{1}{k} \sum_{\ell=0}^{\infty} (2\ell + 1) e^{i\delta_\ell} \sin \delta_\ell P_\ell(\cos \theta).$$

Para obter a seção de choque diferencial basta calcular  $\frac{d\sigma}{d\Omega} = |f(\theta)|^2$ . Vamos calcular a seção de choque integral, também chamada de seção de choque total, se espalhamento de potenciais que não carregam a estrutura interna do alvo. Em geral, se integrarmos apenas nos ângulos, ela chamará *seção de choque integral*. Mas, se integrarmos nos ângulos e somarmos sobre todos os processos possíveis, ela será denominada *seção de choque total*. A seção de choque integral pode ser para um determinado processo, por exemplo, *seção de choque integral elástica*, ou *seção de choque integral da excitação  $X \rightarrow A$ , do alvo  $Z$* . No caso presente, de potencial Hermiteano de um corpo só, a seção de choque integral é elástica e igual à total, pois só o processo elástico é permitido. Ela é definida

por:  $\sigma_{total} = \int d\Omega \frac{d\sigma}{d\Omega} = \int d\Omega |f(\theta)|^2 = \int_0^{2\pi} d\phi \int_0^\pi \sin \theta d\theta |f(\theta)|^2 =$

$$= \frac{2\pi}{k^2} \int_{-1}^{+1} d(\cos \theta) \sum_{\ell, \ell'} (2\ell + 1)(2\ell' + 1) e^{i(\delta_\ell - \delta_{\ell'})} \sin \delta_\ell \sin \delta_{\ell'} P_{\ell'}(\cos \theta) P_\ell(\cos \theta).$$

# O método de ondas parciais para o problema de espalhamento

Mas,  $\int_{-1}^{+1} d(\cos \theta) P_{\ell'}(\cos \theta) P_{\ell}(\cos \theta) = \frac{2}{2\ell + 1} \delta_{\ell\ell'} \text{ (mostre!)}$  e assim :

$$\sigma_{total} = \frac{2\pi}{k^2} \sum_{\ell, \ell'} (2\ell + 1)(2\ell' + 1) e^{i(\delta_\ell - \delta_{\ell'})} \sin \delta_\ell \sin \delta_{\ell'} \frac{2}{2\ell + 1} \delta_{\ell\ell'} \text{ e finalmente}$$

$$\boxed{\sigma_{total} = \frac{4\pi}{k^2} \sum_{\ell} (2\ell + 1) \sin^2 \delta_\ell}$$

Como fica o teorema óptico,  $\text{Im}f(\theta = 0) = \frac{k\sigma_{total}}{4\pi}$ ? Isso pode ser obtido de

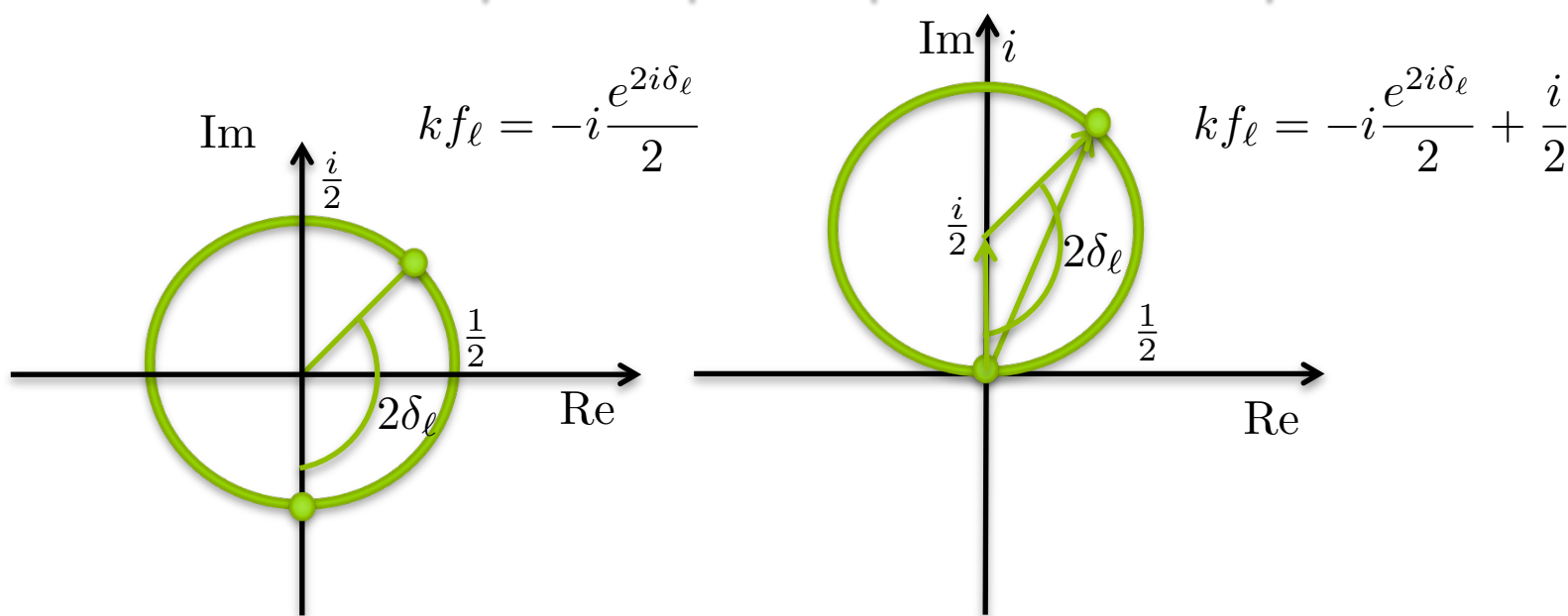
$$\text{Im}f(\theta = 0) = \frac{1}{k} \sum_{\ell=0}^{\infty} (2\ell + 1) \underbrace{\text{Im}e^{i\delta_\ell}}_{\sin \delta_\ell} \underbrace{\sin \delta_\ell P_{\ell}(\cos(\theta = 0))}_{1} = \underbrace{\frac{k}{4\pi} \frac{4\pi}{k^2} \sum_{\ell} (2\ell + 1) \sin^2 \delta_\ell}_{\sigma_{total}}$$

De volta para a relação entre  $f_\ell$  e  $\delta_\ell$ . Quando mudamos a energia,  $\delta_\ell$  muda, e por conseguinte muda  $f_\ell$ . Note que  $f_\ell$ , entretanto, não muda de qualquer maneira,

$$f_\ell = \frac{e^{2i\delta_\ell} - 1}{2ik} \implies kf_\ell = -i \frac{e^{2i\delta_\ell}}{2} + \frac{i}{2}$$

*Como fica essa dependência no plano complexo? Próximo slide.*

# O método de ondas parciais para o problema de espalhamento



## Comentários

- $k f_\ell$  precisa cair sobre a circunferência.
- Se  $\delta_\ell \ll 1 \rightarrow k f_\ell$  fica na parte debaixo do círculo da direita e é quase real.
- $|k f_\ell|$  é máximo quando  $2\delta_\ell = \pi \therefore \delta_\ell = \pi/2$ . Isso faz sentido, pois, lembre que  $\sigma_{total} = \frac{4\pi}{k^2} \sum_\ell (2\ell + 1) \sin^2 \delta_\ell$ .

*Próxima tarefa: determinar os  $\delta_\ell$*

## Determinação dos deslocamentos de fase

Suponha  $V(r) = 0$  se  $r > R$  (alcance do potencial). Para  $r > R$  a função de onda é combinação de ondas esféricas. De fato, é solução da equação de Schrödinger da partícula livre, cuja forma geral é uma combinação de funções

de  $\begin{cases} \text{Newman, } \eta_\ell(kr), \text{ que não se comporta bem na origem.} \\ \text{e} \\ \text{Bessel, } j_\ell(kr), \text{ que se comporta bem na origem.} \end{cases}$

Assim, para  $r > R$ , onde o potencial é zero, a função de onda deve ser uma combinação de  $\eta_\ell(kr)P_\ell(\cos\theta)$  e  $j_\ell(kr)P_\ell(\cos\theta)$ . Ou se quisermos trabalhar

com funções de Hankel  $\begin{cases} h^{(1)} = j_\ell + i\eta_\ell \Rightarrow \lim_{r \rightarrow \infty} h^{(1)} = \frac{e^{i(kr - \ell\pi/2)}}{ikr} \\ h^{(2)} = j_\ell - i\eta_\ell \Rightarrow \lim_{r \rightarrow \infty} h^{(2)} = -\frac{e^{-i(kr - \ell\pi/2)}}{ikr} \end{cases}$

A função de onda pode ser escrita como

$$\langle \mathbf{x} | \Psi_{\mathbf{k}}^{(+)} \rangle = \frac{1}{(2\pi)^{3/2}} \sum_{\ell} i^{\ell} (2\ell + 1) A_{\ell} P_{\ell}(\cos\theta) \text{ para } r > R, \text{ onde}$$

$A_{\ell}(kr) = c_{\ell}^{(1)} h_{\ell}^{(1)}(kr) + c_{\ell}^{(2)} h_{\ell}^{(2)}(kr)$ . Os coeficientes que multiplicam as funções de Hankel são escolhidos de tal forma que se  $V = 0$ ,  $A_{\ell}(kr)$  fica  $j_{\ell}(kr)$  em todos os pontos.

# Determinação dos deslocamentos de fase

Para  $r > R$  e  $R$  muito grande, vimos que

$$\lim_{r \rightarrow \infty} \langle \mathbf{x} | \Psi_{\mathbf{k}}^{(+)} \rangle = \frac{1}{(2\pi)^{3/2}} \sum_{\ell} (2\ell + 1) \frac{P_{\ell}(\cos \theta)}{2ik} \left( S_{\ell} \frac{e^{ikr}}{r} - \frac{e^{-(ikr - \ell\pi)}}{r} \right)$$

que precisa ser comparado com

$$\begin{aligned} \lim_{r \rightarrow \infty} \langle \mathbf{x} | \Psi_{\mathbf{k}}^{(+)} \rangle &= \frac{1}{(2\pi)^{3/2}} \sum_{\ell} i^{\ell} (2\ell + 1) P_{\ell}(\cos \theta) \lim_{r \rightarrow \infty} A_{\ell}(kr) = \\ &= \frac{1}{(2\pi)^{3/2}} \sum_{\ell} i^{\ell} (2\ell + 1) P_{\ell}(\cos \theta) \lim_{r \rightarrow \infty} \left( c_{\ell}^{(1)} h_{\ell}^{(1)}(kr) + c_{\ell}^{(2)} h_{\ell}^{(2)}(kr) \right) = \\ &= \frac{1}{(2\pi)^{3/2}} \sum_{\ell} i^{\ell} (2\ell + 1) P_{\ell}(\cos \theta) \left( c_{\ell}^{(1)} \frac{e^{i(kr - \ell\pi/2)}}{ikr} - c_{\ell}^{(2)} \frac{e^{-i(kr - \ell\pi/2)}}{ikr} \right) = \\ &= \frac{1}{(2\pi)^{3/2}} \sum_{\ell} (2\ell + 1) \frac{P_{\ell}(\cos \theta)}{2ik} \left( 2c_{\ell}^{(1)} \frac{e^{ikr}}{r} - 2c_{\ell}^{(2)} \frac{e^{-i(kr - \ell\pi)}}{r} \right) \end{aligned}$$

(usei que  $i^{\ell} = e^{i\pi\ell/2}$ ). Comparação direta fornece:

$$c_{\ell}^{(1)} = \frac{1}{2} S_{\ell} = \frac{1}{2} e^{i2\delta_{\ell}} \quad \text{e} \quad c_{\ell}^{(2)} = \frac{1}{2}$$

Devolvendo isso em  $A_{\ell}$ , temos  $A_{\ell} = \frac{1}{2} e^{i2\delta_{\ell}} h^{(1)} + \frac{1}{2} h^{(2)}$ . Mostre que

(para  $r > R$ )  $A_{\ell}(kr) = e^{i\delta_{\ell}} (\cos \delta_{\ell} j_{\ell}(kr) - \sin \delta_{\ell} \eta_{\ell}(kr))$

## Determinação dos deslocamentos de fase

A partir de  $A_\ell(kr) = e^{i\delta_\ell} (\cos \delta_\ell j_\ell(kr) - \sin \delta_\ell \eta_\ell(kr))$  podemos

$$\text{calcular } \beta_\ell \equiv \left( \frac{r}{A_\ell} \frac{dA_\ell}{dr} \right) \Big|_{r=R} = kR \left( \frac{j'_\ell(kR) \cos \delta_\ell - \eta'_\ell(kR) \sin \delta_\ell}{j_\ell(kR) \cos \delta_\ell - \eta_\ell(kR) \sin \delta_\ell} \right)$$

onde  $j'_\ell$  e  $\eta'_\ell$  são derivadas com respeito a  $kr$ . Se aprendermos como obter  $\beta_\ell$ , podemos inverter esta equação e calcular  $\delta_\ell$ . A inversão é relativamente simples. Basta agrupar os coeficientes dos  $\sin \delta_\ell$  e  $\cos \delta_\ell$ .

$$\frac{\beta_\ell}{kR} (j_\ell(kR) \cos \delta_\ell - \eta_\ell(kR) \sin \delta_\ell) = j'_\ell(kR) \cos \delta_\ell - \eta'_\ell(kR) \sin \delta_\ell \text{ ou ainda}$$

$$\left( \frac{\beta_\ell}{kR} j_\ell - j'_\ell \right) \cos \delta_\ell = \left( \frac{\beta_\ell}{kR} \eta_\ell - \eta'_\ell \right) \sin \delta_\ell \text{ que fornece:}$$

$$\tan \delta_\ell = \frac{kR j'_\ell(kR) - \beta_\ell j_\ell(kR)}{kR \eta'_\ell(kR) - \beta_\ell \eta_\ell(kR)}$$

$\therefore \begin{cases} \text{Se acharmos } \beta_\ell \\ \text{teremos achado } \delta_\ell. \end{cases}$

Para determinar  $\beta_\ell$ , precisamos resolver a equação de Schrödinger na região do potencial,

$$\frac{d^2 u_\ell}{dr^2} + \left( k^2 - \frac{2m}{\hbar^2} V - \frac{\ell(\ell+1)}{r^2} \right) u_\ell = 0 \text{ onde } u_\ell = r A_\ell(r) \text{ e } u_\ell(r)|_{r=0} = 0$$

Integre esta equação até  $r = R$ , calcule  $\beta_\ell \Big|_{\text{solução interna}}$  e iguale à  $\beta_\ell \Big|_{\text{solução externa}}$

Note que  $\beta_\ell$  é um número real. Tendo ele, calcule  $\tan \delta_\ell$ .

## Aplicação: Espalhamento da esfera dura

O problema tridimensional de barreira infinita ou esfera dura é definido pelo

$$\text{potencial } V \begin{cases} \infty \text{ para } r \leq R \\ 0 \text{ para } r > R \end{cases}$$

Como a esfera é impenetrável, a função de onda precisa se anular em  $r = R$ . Isto já é suficiente para achar  $\delta_\ell$  (não é preciso calcular  $\beta_\ell$  neste caso).

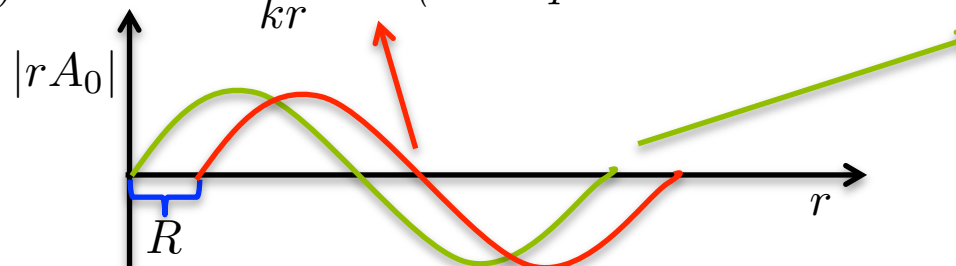
$$A_\ell(kr) \Big|_{r=R} = e^{i\delta_\ell} (\cos \delta_\ell j_\ell(kR) - \sin \delta_\ell \eta_\ell(kR)) = 0 \Rightarrow \tan \delta_\ell = \frac{j_\ell(kR)}{\eta_\ell(kR)}$$

$$\text{Caso } \ell = 0 \begin{cases} j_0(kR) = \frac{\sin kR}{kR} \\ \eta_0(kR) = -\frac{\cos kR}{kR} \end{cases} \Rightarrow \tan \delta_0 = -\tan kR \therefore \delta_0 = -kR$$

A parte radial da função de onda varia da seguinte forma:

$$A_0(kr) = e^{i\delta_0} \left( \frac{\cos \delta_0 \sin kr}{kr} + \frac{\sin \delta_0 \cos kr}{kr} \right) = e^{i\delta_0} \frac{\sin (kr + \delta_0)}{kr} \text{ ou}$$

$$A_0(kr) = e^{i\delta_0} \frac{\sin k(r - R)}{kr} \text{ (note que se não houvesse } V, A_0 = j_0 = \frac{\sin kr}{kr})$$



## Aplicação: Espalhamento da esfera dura

Ainda para a esfera dura, estudaremos  $\tan \delta_\ell$  para altas ( $kR \gg 1$ ) e baixas ( $kR \ll 1$ ) energias.

### Baixa energia

$$\text{Para } kR \ll 1 \quad \begin{cases} j_\ell(kr) = \frac{(kr)^\ell}{(2\ell+1)!!} \\ \eta_\ell(kr) = -\frac{(2\ell-1)!!}{(kr)^{\ell+1}} \end{cases} \implies \tan \delta_\ell = -\frac{(kR)^{2\ell+1}}{(2\ell+1)!!(2\ell-1)!!}$$

Para  $\ell = 0 \rightarrow \tan \delta_0 = -kR \approx \delta_0$  mesmo resultado que antes que era exato.

Note que é justo desprezar os  $\delta_\ell$  para  $\ell > 0$ , pois  $\tan \delta_\ell \propto (kr)^{2\ell+1}$ .

$$\text{Se } \delta_0 = -kR \Rightarrow \frac{d\sigma}{d\Omega} = |f(\theta)|^2 \text{ com } f(\theta) = \frac{1}{k} \sum_{\ell} (2\ell+1) e^{i\delta_\ell} \sin \delta_\ell P_\ell(\cos \theta)$$

$$\text{Truncando a soma, em } \ell = 0, \text{ temos } f(\theta) \approx \frac{1}{k} e^{i\delta_0} \sin \delta_0 \rightarrow |f(\theta)|^2 = \frac{\sin^2 \delta_0}{k^2}$$

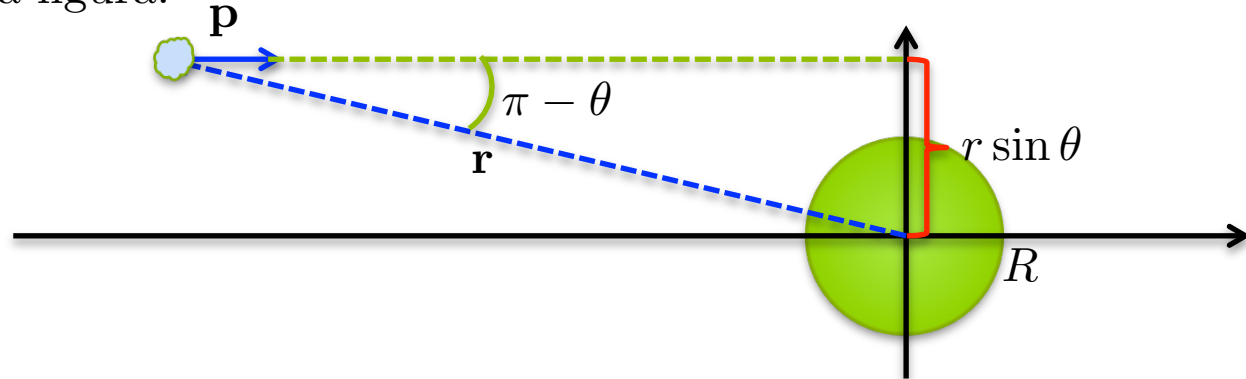
$$\text{E } \therefore \frac{d\sigma}{d\Omega} = \frac{k^2 R^2}{k^2} = R^2 \implies \sigma_{total} = \int \frac{d\sigma}{d\Omega} d\Omega = R^2 \int d\Omega = 4\pi R^2$$

*A seção de choque é quatro vezes maior que a seção de choque geométrica. Baixa energia, comprimento de onda grande, mecânica quântica difere da mecânica clássica. Será que para altas energias teremos  $\sigma_{total} = \pi R^2$ ?*

# Aplicação: Espalhamento da esfera dura

## Alta energia

Para  $kR \gg 1$  precisamos somar as contribuições de  $\delta_\ell$  que diferem de zero. Lembre que soma em  $\ell$  vai até infinito, mas a partir de um dado  $\ell$ ,  $\delta_\ell \approx 0$  e a soma pode ser truncada.  $\ell$  está associado momento angular. Classicamente  $L = |\mathbf{r} \times \mathbf{p}| = rp \sin \theta$  onde  $r \sin \theta$  é o “braço de alavanca”, indicado na figura.



Note que classicamente quando  $r \sin \theta > R$ , a partícula, com momento angular superior a  $Rp$ , deixa de colidir com a esfera rígida. Com isso em mente, somaremos em  $\ell$  até  $\ell_{max} = kR$ . Desta forma, a seção de choque total pode ser escrita por

$$\sigma_{total} = \frac{4\pi}{k^2} \sum_{\ell=0}^{\ell=kR} (2\ell + 1) \sin^2 \delta_\ell$$

## Aplicação: Espalhamento da esfera dura

Considerando  $\sin^2 \delta_\ell = \frac{\tan^2 \delta_\ell}{1 + \tan^2 \delta_\ell}$  e que  $\tan \delta_\ell = \frac{j_\ell(kR)}{\eta_\ell(kR)}$ , temos:

$$\sin^2 \delta_\ell = \frac{j_\ell^2(kR)}{j_\ell^2(kR) + \eta_\ell^2(kR)}. \text{ Para } kR \gg 1 \begin{cases} j_\ell(kR) = \frac{1}{kR} \sin(kR - \ell\pi/2) \\ \eta_\ell(kR) = -\frac{1}{kR} \cos(kR - \ell\pi/2) \end{cases}$$

$$\text{e assim } \sin^2 \delta_\ell = \frac{\sin^2(kR - \ell\pi/2)}{\sin^2(kR - \ell\pi/2) + \cos^2(kR - \ell\pi/2)} = \sin^2(kR - \ell\pi/2)$$

$$\text{Agora basta realizar a soma: } \sigma_{total} = \frac{4\pi}{k^2} \sum_{\ell=0}^{\ell=kR} (2\ell + 1) \sin^2(kR - \ell\pi/2)$$

Para realizar esta soma, considere dois termos consecutivos da série

$$\sigma_{total} = \frac{4\pi}{k^2} \sum_{\ell=0}^{\ell=kR} (2\ell + 1) \sin^2 \delta_\ell, \text{ isto é } \begin{cases} \ell \rightarrow (2\ell + 1) \sin^2 \delta_\ell \\ \text{e} \\ \ell' = \ell + 1 \rightarrow (2(\ell + 1) + 1) \sin^2 \delta_{\ell+1} \end{cases}$$

$$\text{some-os para obter } (2\ell + 1) \underbrace{(\sin^2 \delta_\ell + \sin^2 \delta_{\ell+1})}_{1 \text{ devido ao } \ell\pi/2} + 2 \underbrace{\sin^2 \delta_{\ell+1}}_{< 1}$$

$$\text{Para finalmente obter } \sigma_{total} = \frac{4\pi}{k^2} \left( \sum_{\ell=0}^{\ell=kR} (2\ell + 1) + \sum_{\ell=0}^{\ell=kR} 2 \sin^2 \delta_{\ell+1} \right)$$

## Aplicação: Espalhamento da esfera dura

Note agora que a primeira soma é de uma progressão aritmética e a segunda é uma soma de números menores do que um

$$\sigma_{total} = \frac{4\pi}{k^2} \left( \underbrace{\sum_{\substack{\ell=0 \\ 2 \text{ em } 2}}^{\ell=kR} (2\ell + 1)}_{\text{número de termos}} + 2 \underbrace{\sum_{\substack{\ell=0 \\ 2 \text{ em } 2}}^{\ell=kR} \sin^2 \delta_{\ell+1}}_{\text{valor médio}} \right)$$

este vai com  $kR$

Soma de termos da progressão aritmética é igual à  $\frac{kR}{2} \times \frac{1 + 2kR + 1}{2} \propto \frac{(kR)^2}{2}$ .

A segunda soma é linear em  $kR$  e pode ser desprezada para  $kR$ , suficientemente grande. Note que se trocássemos todos os  $\sin^2 \delta_{\ell+1}$  por 1 a soma seria  $kR/2$ .

A seção de choque total, é, portanto  $\sigma_{total} = \frac{4\pi}{k^2} \frac{(kR)^2}{2} \approx 2\pi R^2$ !! Isso é o dobro da geométrica. Surpreso?

- *Um potencial com uma descontinuidade é sempre quântico!*
- *Mesmo comprimentos de onda minúsculos percebem a descontinuidade.*